

鋼材の靭性と脆性

徳島大学助教授 堀 茂徳

1. はしがき

一般に金属は温度が高くなるとその強靭性が落ちるものであるが、このような温度と共に単調な変化を示すばかりにいろいろ靭性の低くなる状態、あるいは時としてはとんど塑性変形なしに破壊してしまう脆性が存在する。ここで脆性とは一応破壊までになしする仕事の比較的少ない状態ということに用いると、強靭と云われている鋼材にもいろいろな脆性が存在することになる。この問題を理解しておくことは鋼材の製造および使用に当って大事なことである。ここでは主として普通鋼材につき比較的高い温度域に存在する脆性と一般に低温であらわれる靭性から脆性破壊までの遷移についてその現象と機構の概略を述べる。

2. 高温における靭性と脆性

2.1 青熱脆性

鋼材の高温度における引張性質などはよく調べられているが、いま1例として焼ならした0.37%C鋼の高温短期時間試験結果¹⁾を図1に示した。この図で諸性質の温度依存性をみると比例限、弹性限などは一応温度とともに次第に変化しているが、ただある温度で引張り強さ

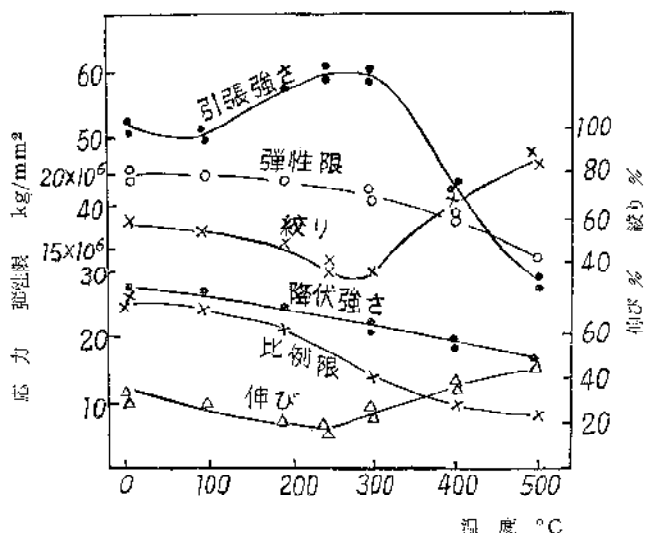


図1 0.37%C鋼の温度と機械的性質との関係

*徳島市新吉町2丁目

が上り、伸びおよび絞りが下るというように温度の変化に単調には対応していないところがある。この温度は通常の引張試験では250°C～300°C附近に現われるもので、これを青熱脆性と呼んでいる。負荷速度が高くなると青熱脆性は高温側に移る。この脆性は多くの鋼にだいたい似た傾向として現われ焼入焼成の熱処理した鋼でも5%程度Niを含むものでも同様に現われる。青熱脆性の機構²⁾は250°C附近ではα鉄中に溶け込んでいる炭素の拡散速度が大きいのでこれが転位の運動に追いついてゆき、また一度転位が応力の作用でこのくぎづけからはなされても、すぐにあとから追いつき結局転位と不完全な溶質原子の空隙気が一緒にになって動くことになり、これが転位に対して粘性抵抗として作用することになる。引張試験温度がより高くなると炭素の拡散速度が更に大きくなり、転位の運動に対するこの種の粘性抵抗は小さくなり加工硬化は減少する。衝撃試験では550°F附近に青熱脆性があらわれる。

2.2 赤熱脆性

不純物としてSが多く含まれるとFeSが粒界に晶出し、またはFeとFeSの共晶をつくることにより融点が下るので高温での鍛造が不能になることがある。これを防ぐためMnを添加して融点の高いMnSをつくりSの害を少なくすることが出来る。この他不純物としてのCuやSnなどにより脆性が現われることがあるがここではこれ以上触れない。

2.3 500°F脆性

焼入鋼を250°C附近で焼成すると靭性が著しく減る。これは低温焼成脆性あるいは500°F脆性として知られている。図2は0.19%C、0.80%Mn、1.10%CrのCr-Mn肌焼成鋼とそれにAl、Ti、Bを添加した場合の焼成温度による衝撃値の変化³⁾の1例を示したものである。500°F脆性は普通の構造用鋼にもまたCの低い鋼にもおこり、炭素量については0.8%C鋼で最も著しい。またMn鋼はいずれの鋼種におけるよりも500°F脆性が著しく、Moを含む鋼材はこの脆性が少なくなる。この他Al、Ti、Bなどの添加がこの脆性を改善するといわれる³⁾⁴⁾。500°F脆性の機構としては古くより種々の考え方³⁾⁵⁾⁶⁾⁷⁾⁸⁾が示されているが、近年一応つぎのように考えられるようになった。焼入鋼の焼成において

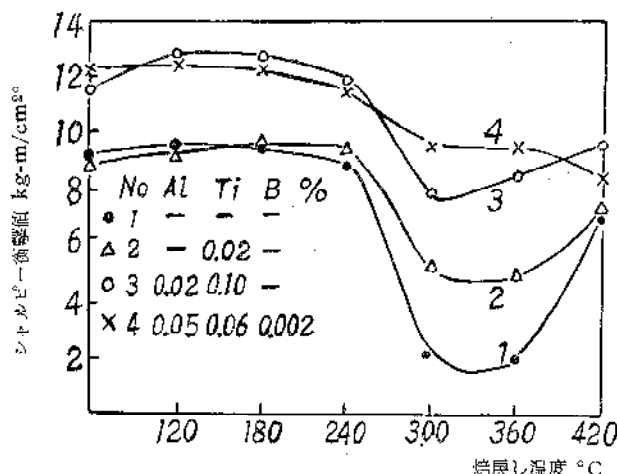


図2 Cr-Mn肌焼鋼の焼戻し温度と衝撃値との関係
てマルテンサイトから炭化物が析出するに当り、この炭化物が δ から Fe_3C …の転移を行なう。この Fe_3C ははじめ二次の薄片として生じこれが脆化の原因と考えられる。したがって $500^{\circ}F$ 脆性には焼入組織がマルテンサイトであることが前提となる。

2.4 焼戻し脆性

強靱鋼はいざれも焼入焼戻しの熱処理を施して用いられるがこの焼戻しするとき除冷する（通常約2分以下）と急冷したものに比べて衝撃値が甚だしく低く現われる。図3によれば焼戻後水冷すると $500\sim 550^{\circ}C$ に僅かに低い値を示すが、除冷したものでは $600\sim 700^{\circ}C$ 前

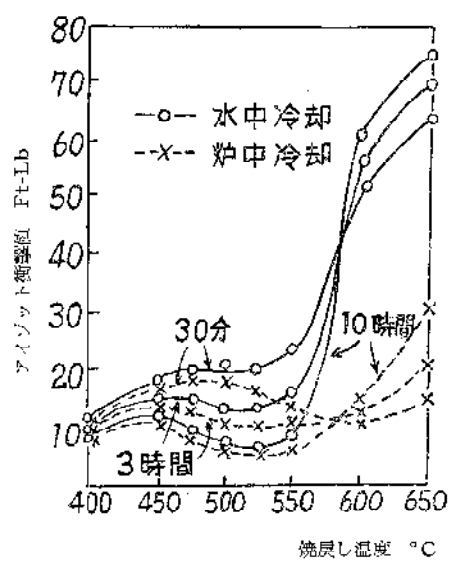


図3 Ni-Cr鋼の焼戻しによる衝撃値の変化

者に比べて著しい脆性を示している¹⁰⁾。通常焼戻後急冷試料で $550^{\circ}C$ 附近に現われる脆性と除冷したものに特徴的に現われる現象とがあるが、實際上重視されるのは後者の現象であつて、これにはMoの添加が防止法として有効であるとされている。靱性試料を 550° 前後に再加熱した試料においても脆性が存在する。古くは焼戻し脆性の

試験は凡て常温衝撃値の比較をしていたがその後これでは不充分で、急冷、除冷試料では遷移温後が異なることが十数年前に指摘された¹¹⁾。以後この焼戻し脆性的評価には遷移温度の変化という点からなされるようになった。

（遷移現象に関しては次節で述べる）。焼戻し脆性はNi—Cr鋼、Cr鋼、Mn鋼などにおいて著しいといわれているが、この脆性におよぼす合金元素の影響については種々の研究¹²⁾¹³⁾¹⁴⁾があるが必ずしも一致していない。最近steven¹⁴⁾らが行った高純鉄に各種元素を添加して研究した結果によるとP、Sb、As、Mn、Siなどは少量でも脆化を助長し、Bi、Cu、Zr、Ca、Nなどは無害であるという。この脆性の原因は現在まだ推測の域を出なくてある種の溶質原子の結晶粒界の偏析によるとされているようである。

2.5 純鉄における靱性

鋼材にあらわれる高温脆性は上述のように溶質原子の存在に基づいているが、いっとき純鉄の靱性はどうであろうか。純鉄では温度が高いほど、純度が高いほど靱性はます。図4は3種の純鉄について高温靱性をよく表わすといわれる摺り試験による結果¹⁵⁾を示した。図で

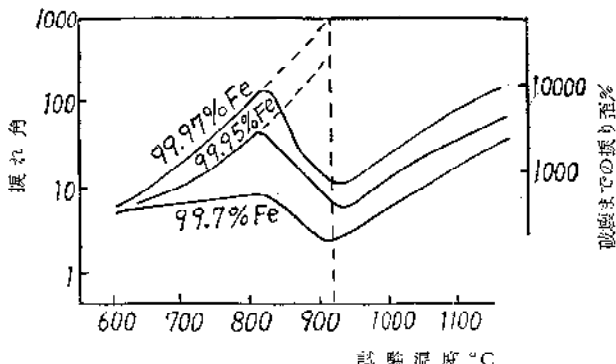


図4 3種の純鉄の高における靱性と速度は47%一定

は α および γ 鉄とも温度とともに摺れ角は増すが、変態点附近の α 側で脆化している。そして興味あることは $600\sim 800^{\circ}C$ のデータを延長して比較すると α 相の方が γ よりも靱性が高いということである。 α 相は体心立方格子で γ は面心立方格子の γ が12ヶしかないのに比べて変形し易いことも一因であるが、自己拡散速度について α 相の方が γ の約400倍であることが大きく影響しているという。拡散速度が大であることは転位の上昇運動により集積転位の応力軽減が期待されるからである。高純試料の方が靱性が高いのはSのような不純物が粒界に影響しよう。また $900^{\circ}C$ における脆化は α 相の結晶粒界に γ が生ずることによると Robbins¹⁵⁾は考えている。いざれにしても純鉄では α の靱性がかなり高いことが知られ、従ってこの高温加工では γ 域よりもむしろ $600\sim 800^{\circ}C$ の α 域で行う方が

能率的であるといわれる。

3. 低 温 脆 性

3.1 まえおき

前節で述べて來た鋼材の高温度における脆性に対して低温脆性は破壊の進行が非常に速いのが特徴で、従って構造物にこれがおこるとその被害は往々にして非常に大となる。しかもこの脆性はこれがおこる温度以下では再び剛性の回復する事がない。そもそも低温脆性が特に問題となつたのは第2次大戦を機としてあって戦時中全溶接船の建造と関係がある¹⁰⁾。すなわちよく知られているように全溶接輸送船タンカーに1942年頃から船体が二つに分離するというような大事故があった。しかもこれら重要な脆性破壊の10%までがドック附近が静かな海面において起つたことは注目された。以後大がかりな組織的研究がはじまり、急速にこの方面的成果がつみ重ねられて來た。これらの事故の多くは低温度でしかも工作上鋸どい切欠のある溶接上の欠陥から発生し易いことが判つた。もっとも同様な原因による橋、圧力容器、輸送管などの陸上鋼構造物における破壊もこれ以前にあつたことが報告されている。

低温で著しく脆くなるという性質は鋼材に限られない。この現象は結晶型に関係し鋼の他にW、Mo、Crなどの体心立方格子金属あるいはZn、Cd、Mg、Beなどの稠密立方格子金属についても同様な現象のあることが知られている。そのほか金属間化合物や金属炭化物、窒化物、硅化物、硼化物にも類似の傾向がある。しかし二三の問題¹⁷⁾¹⁸⁾¹⁹⁾はあるがAl、Cuなどの面心立方晶の金属では通常はおこらないとされている。

3.2 鞣性一脆性遷移現象

(1) 温度の影響

SAE 1020 鋼について低温度で引張試験した結果²⁰⁾は図5に示したように、温度が下ると降伏応力および破壊

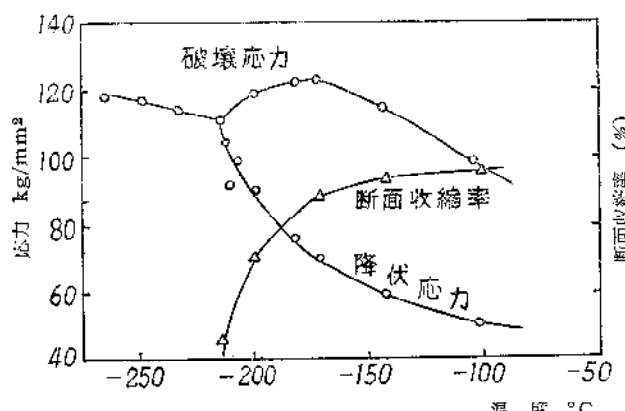


図5 SAE 1020 鋼の破壊応力、降伏応力
および断面收縮率と温度との関係

応力は急激に増加し、ある温度になると破壊応力が低下するようになり遂に降伏応力で破壊するようになる。この遷移温度以下では試験片の断面收縮率はほとんど現われない。このように鋼材の低温での引張性質はよく調べられて来たが最近の研究²¹⁾²²⁾によれば試験温度による破壊特性は単純ではなく、いくつかの温度領域によって段階があることが認められた。すなわち図6に1例を示すように室温附近ではいわゆる Cup and Cone 型破壊を示し、B領域までは局部取締が明らかに認められる。

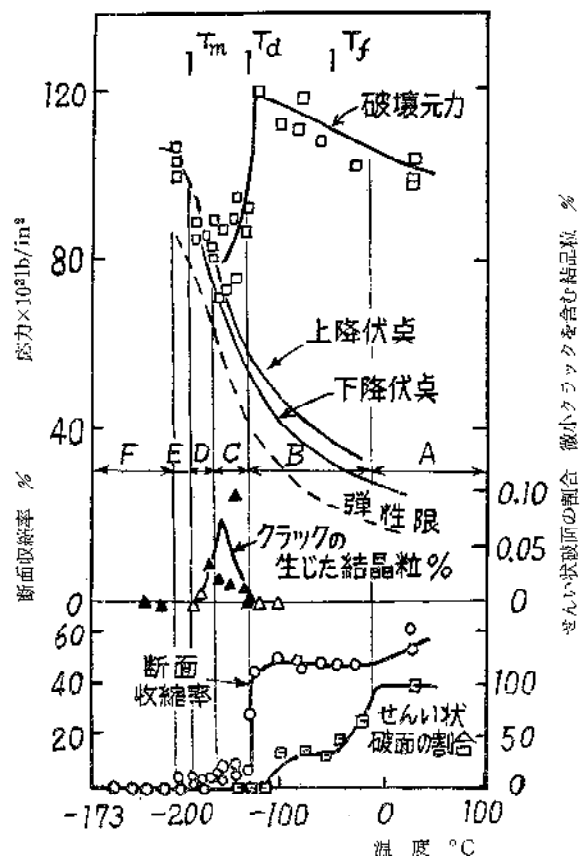


図6 0.22% C鋼の降伏応力、破壊応力、
破面外観、微小クラックの温度による
変化。結晶粒直径 0.106mm

T_d の温度以下では断面收縮率が急減し破壊は剪断型から劈開型に移る。 T_d は延性遷移温度と呼ばれる。そしてC領域で破壊前に結晶粒程度の大きさのクラックが存在するという。Dの領域では破壊応力と降伏応力とはほとんど等しい。しかし降伏は破壊する前に観察され、下降伏点で破壊がおこっている。E領域になると荷重が一時的に低下するという降伏の特性があらわれずに上降伏点あたりで破壊がおこる。F領域では破壊は上降伏点および下降伏点の外そう値以下の応力で急激におこる。もちろん材料の種類や試験の条件のちがいによってはこのような温度特性曲線は異なり、各領域の広がりは変り、またはある領域は全然かくれてしまうこともある。

(2) 応力条件の影響

図5および図6でみられたように引張試験を行うときは遷移温度はかなり低温に現われるが、曲げ試験では温度の高い方へ移る。図7に再試験法による比較を示した。またこれらの試験において負荷速度を早くすると更に高温側に移り、それも鋭い切欠をもつ場合に著しい(図8)すなわち鋭い切欠をもつ衝撃曲げ試験では安全側の設計資料が得られ、かつ試験も簡便で容易に行わ

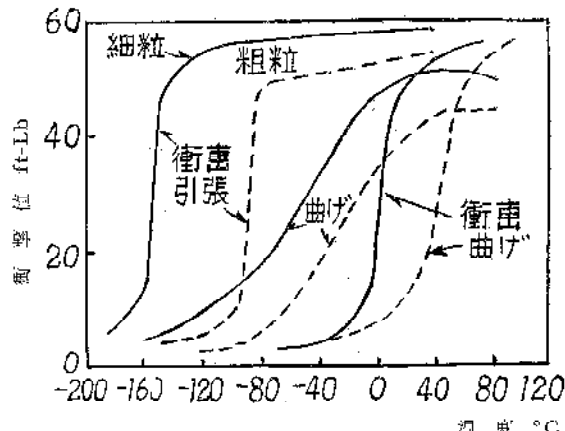


図7 衝撃値と温度との関係

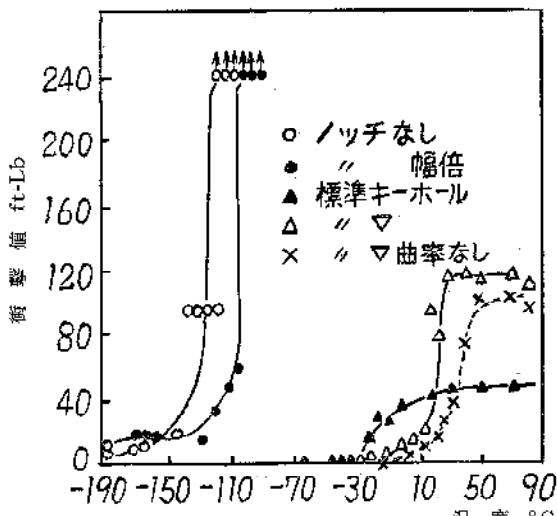


図8 衝撃曲げ試験における試験片形状の影響

れるので実用上遷移温度を比較する場合など Chaney 試験がとられることが多い。

以上述べたように遷移温度は試験片の形や大きさ、応力のかけ方などによって変るがその主な傾向²³⁾は

1. 試験片について相似の法則が成立しなく、試験片の寸法が大きいほど遷移温度は高くなる。
2. 切欠試片では切欠の鋭いほど遷移温度は高くなる。
3. 1軸応力よりも2軸あるいは多軸応力が働くと遷移温度が上る。

引張試験では脆性破壊した試料の断面収縮率は極めて

低いが、振り破壊においては破壊までの塑性歪は比較的大²⁴⁾²⁵⁾で剪断型から劈開破壊への遷移で塑性歪の大きな変化はあらわれないことが認められている²⁴⁾。また横堀²⁶⁾は鋼材の脆性破壊の応力条件は最大引張応力一定条件にも最大剪断応力一定条件にも Missess による条件のいずれにも従がわないと引張および振り試験についての結果から述べている。

(3) 歪速度の影響

鉄鋼の降伏および破壊強さは歪速度(または応力速

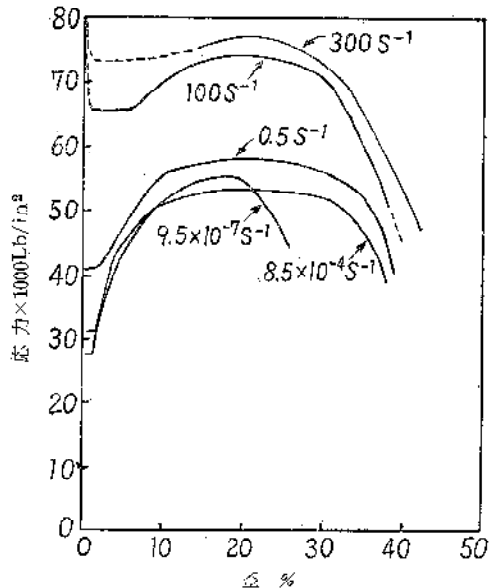


図9 常温における軟鋼の応力-歪曲線における歪速度の影響

度)に敏感で歪速度が高くなると高くなる²⁷⁾²⁸⁾。図9はその1例²⁹⁾を示す。図10に液体窒素温度および常温での振り強さに対する歪速度の影響²⁷⁾を示した。試験温度が更に高温になると歪時効あるいは変形中の回復、再結晶などの影響のために歪速度に対して単調な関係にあらわれるのはもちろんである。またこれらの試験において変形速度が極端に早くなり、しかも破壊までの塑性変形

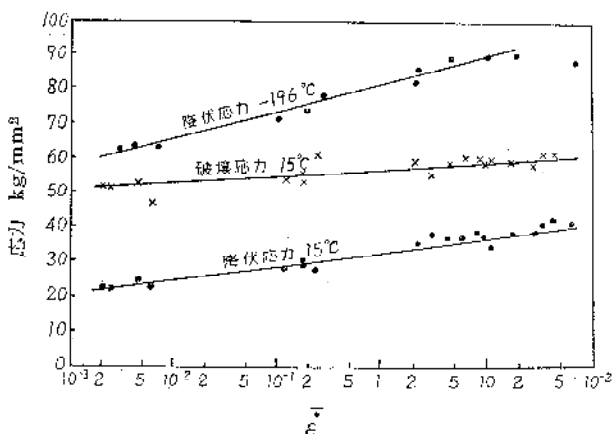


図10 0.16%C鋼の振り降伏応力および破壊応力における歪速度の影響

の大きな場合には変形中に変形仕事に基づく発熱による試験片の温度上昇が入り易いから破壊強さの温度依存性も入ってくることが考えられる故この点留意する必要がある。降伏点の問題は鋼材の脆性破壊に密接な関聯をもつと考えられる。

遷移温度に対しては負荷速度が高くなると高くなる。引速度と遷移温度 T_c との関係は Wittman²⁹⁾ らによれば次式で表わされる。

$$1/T_c = - (k/U) \log \dot{\varepsilon} + C \quad (1)$$

ここで $\dot{\varepsilon}$ は引速度、 k はボルツマン常数・ C は常数・ U

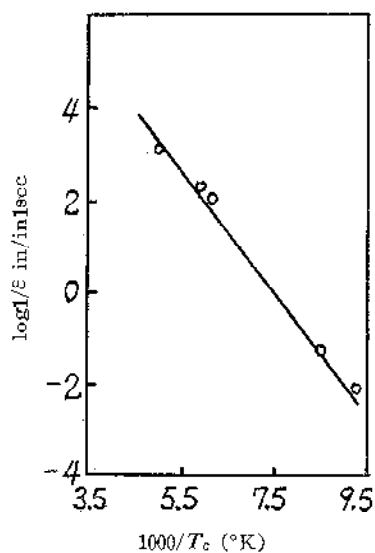


図11 0.25%C鋼の遷移速度と遷移温度との関係

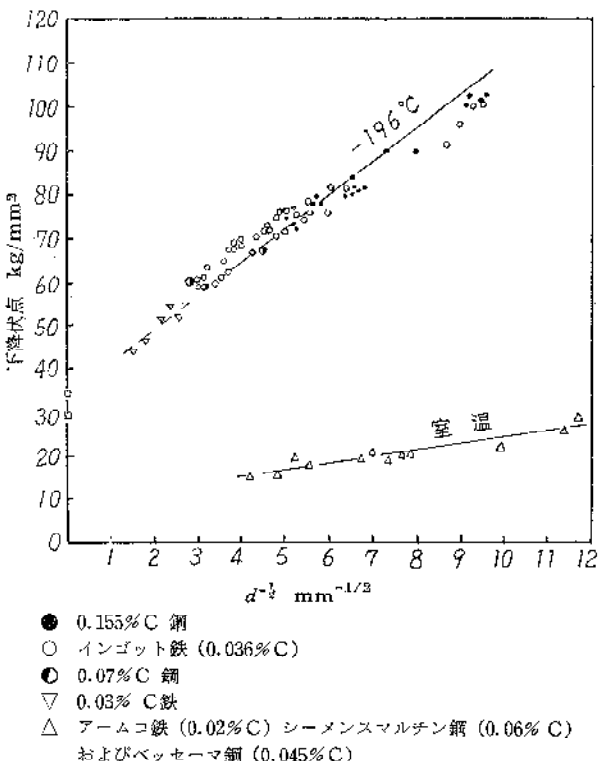


図12 鉄および軟鋼の下降伏应力と結晶粒度との関係

は活性化エネルギーで図11は彼らによる実験結果である。同様な結果は MacGregor³⁰⁾ らによっても得られており、また 1020 鋼で引張速度を 100 倍にすると約 50°F だけ T_c が上り、速度がませばまほど遷移温度範囲の幅が狭くなるといわれる³¹⁾。

(4) 冶金的因子の影響

鋼材の降伏応力あるいは破壊応力は結晶粒が細かくなると高くなることは從来よく知られているが、最近フェライト粉の大きさと強さとの関係が詳しく研究された。図12は降伏応力とフェライト粒の直径 d に対してこれらの報告³²⁾³³⁾³⁴⁾についてプロットした。結果は炭素量の高い鋼の範囲内で $d^{-1/2}$ に対して降伏応力は直線関係にあることを示している。すなわち降伏応力 σ_y は

$$\sigma_y = \sigma_i + K_y d^{-1/2} \quad (2)$$

を満足する。Low³⁵⁾は液体窒素の温度で引張破壊応力(脆性破壊)と圧縮降伏応力の $d^{-1/2}$ に対する関係はともに同じ直線上に乗ることを見出し、また 0.07%C 鋼での実験³⁵⁾によると液体窒素温度では $d^{-1/2}=3\sim 4$ 以上になると脆性破壊し、それ以上細かくなると非性様式で破壊した。図13はこれを示す。すなわち結晶粒度が粗くなると鋼材は脆性破壊し易くなる。なお(2)式は理論的に導かれるもの³⁶⁾と一致する。

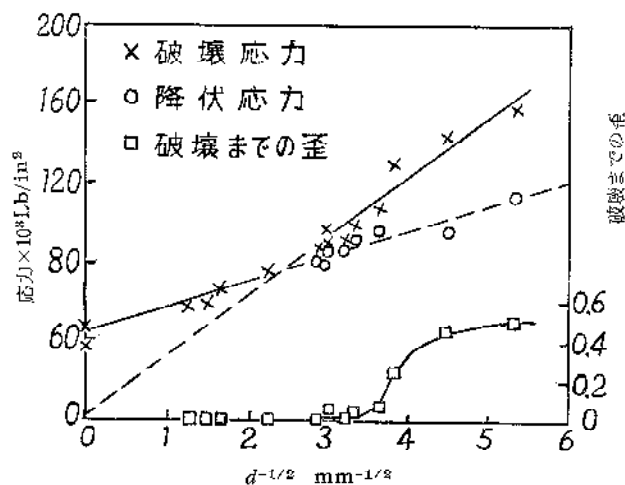


図13 0.07% C 鋼の-196°Cにおける降伏および破壊応力および破壊までの歪に対する結晶粒度の影響 $d^{-1/2}=0$ の点は単結晶の劈開応力

つぎに 0.115% C 鋼に種々な熱処理を行ったものについても同じく $d^{-1/2}$ に対して同様な関係が成立することが判った³⁷⁾。図14から熱処理を異にしても K_y の値はかわらず σ_y が大きく変化する。そして窒素が入ると σ_y が大となる。また焼入焼戻した鋼材については図15に 1 例を示すように、抗張力をだいたい 87.5 kg/mm² に等しくなるように熱処理した鋼材の衝撃性質は焼戻しペーライト鋼、焼戻しペイナイト鋼、焼戻しマルテンサイト鋼の順に良好となり遷移温度も低くなる³⁸⁾。ペーライト

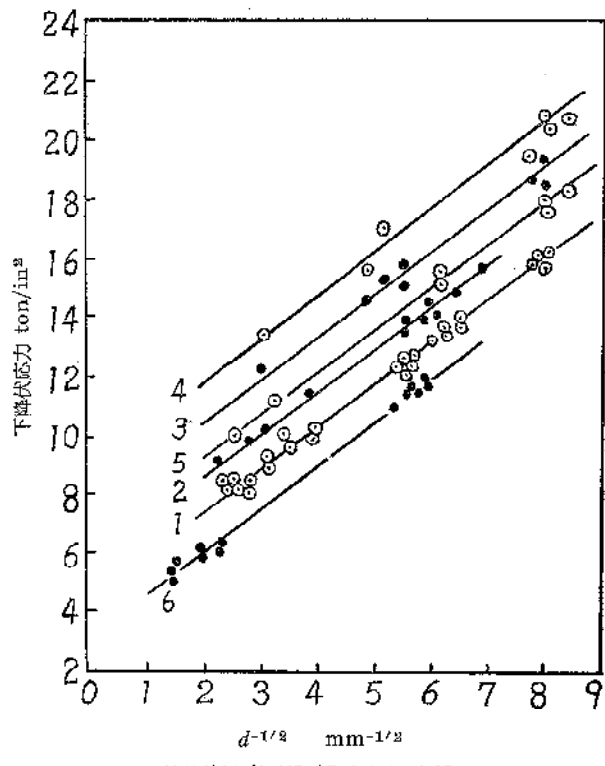


図14 鉄および軟鋼の降伏応力におよぼす
結晶粒度の影響

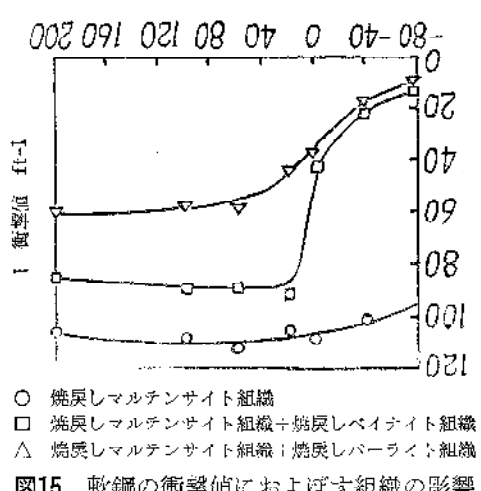


図15 軟鋼の衝撃値におよぼす組織の影響

について云えば層状よりも球状ペーライト組織の方が低い。また Low³⁹⁾による詳しい電子顕微鏡的研究によればペーライトおよび上部ベイナイトは下部ベイナイトおよびマルテンサイト組織の鋼材よりも遷移温度が高い。要するに箇々の粒による方位のちがいが劈開割れの伝播を阻止するから、劈開割れの方向を変化させ箇々の粒が小さいほど脆性をおこし難いことになる。

炭素量については前述した通り C の低い範囲では降伏

応力は C 従ってペーライトの存在量によるよりもフェライト結晶粒の大きさにより依存するが、遷移温度は一般に C が増すと高温側にずれ、かつ遷移領域が広くなる。なお溶浴法により精製した高純鉄では 4.2°K の低温になっても 90% の断面収縮率を有するという報告⁴⁰⁾がある。また Basinski らの実験⁴¹⁾では真空溶解した 0.0027% C で 2000 粒/mm² の細粒鋼では同じく 4.2K で韌性を示した。図16は C 0.3%, Mn 1.00%, Si 0.3% の鋼材に添加した合金元素の量による Charpy 試験遷移温度の変化を示したものである⁴²⁾。この結果から Mn, Ni は遷移温度を下げ、C, P, Si, Mn は遷移温度を上げる元素であることがわかる。また軟鋼の Mn/C の値が高いほど遷移温度が著しく下ることが認められた⁴³⁾。そこで船用鋼板に対して Mn/C の値の高い成分が規定されている。またキルド鋼の方がリムド鋼よりも遷移温度が低く、セミキルド鋼は両者の中位である。

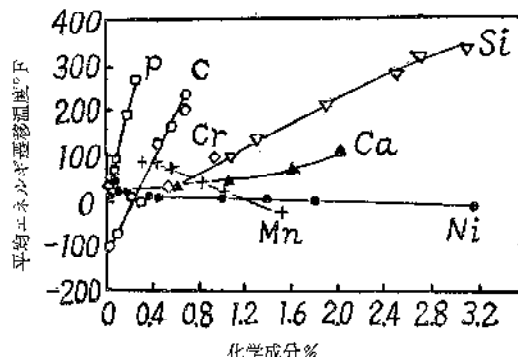


図16 軟鋼の遷移温度におよぼす添加元素の影響

(5) 脆性破壊の顕微鏡組織的観察

低温における脆性破壊は顕微鏡的には結晶粒を横切って走り、結晶学的には劈開面でおこる。鋼材の場合には劈開面は {100} 面である。このことはエッチングにより確かめることが出来る。脆性破断面をみるとほとんどに塑性変形はみられないのが通常であるが、X線その他で調べると劈開破断においてもやはり必ず塑性変形を伴っている⁴⁴⁾⁴⁵⁾。すなわち脆性破壊においても塑性変形が先行しているのが特徴である。前述したように捩り変形の場合には劈開破壊までの塑性変形はかなり大きい。脆性破壊した破面をみると単結晶試料についてさえも一つの一様な平面でなくて河状の模様がみられる。写真1はその1例でこれは平行した二つのクラックが連なっているわけで劈開面のステップである。こんな河状模様からクラックの起点と進行した方向を知ることが出来る。すなわちクラックの芽から扇形にクラックが進むことが写真からわかり、かつこのクラックは結晶粒界から発生している。そして一つの結晶粒を横切ってつぎの結晶粒に順に伝わってゆく。脆性破面ではまた双晶が認められることが多い。この変形双晶は試験温度が低くなるほど、結

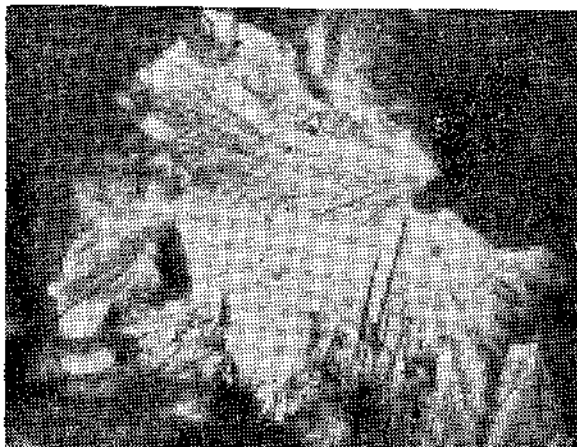


写真 0.08%C鋼の液体窒素温度における捩り
破断面×400 (美馬, 堀)

品粒が大きいほど歪速度が大きいほど著しく現われる。変形双晶は降伏の前後に生ずることが多く、その頻度の高いときにはよく注意して試験すると音を発生することが認められる。また双晶はクラックの伝播に伴っても発生するといわれる⁴⁰⁾。破壊の前に生じた双晶からクラックが発生するという考え方⁴⁷⁾⁴⁸⁾⁴⁹⁾があるが、双晶がなくても脆性破壊がおこるし⁵⁰⁾、逆に双晶の存在が必ずしも脆性破壊に導かれないから双晶は脆性破壊と一義的な関係はない。ただ双晶発生と脆性破壊とは類似の条件でおこり易いことは確かであろう。図6に示した引張試験の結果ではB領域の低温側およびC領域で破壊前にすでに結晶粒程度のマイクロクラックが発生している。もちろん結晶粒を全部横切らないものも存在する。またこのマイクロクラック面の方位はその85%までが引張応力に垂直な面に対して約15°以内に存在しているといわれる²²⁾。しかしながら捩り脆性破壊の場合にはかかるマイクロクラックな破面近傍で独立に存在することの認められることが多い。

3.3 軟性一脆性遷移の機構

完全結晶体の破壊応力 σ_c はヤング率を E としてだいたい $E/10$ 程度とされている。ところが実際の材料ではこの理論値よりも非常に低い応力で破壊する。大きな鋼材ではおおよそ $E/3000$ で脆性破壊すると云われる。この理論値と実在の材料の測定値とのちがいを説明するのに古く Griffith の理論³⁰⁾が用いられた。長さ $2C$ のクラックが材料中に先在しており、 σ なる引張応力が働くときクラックが成長を起し、 σ_c で破壊すると次式を与えている。

$$\sigma_c = \{2\gamma E/\pi C(1-\nu^2)\}^{1/2} \quad (3)$$

ここで γ は分離により新しい結晶面を露出させるときの表面エネルギー、 ν はポアソン比で鋼材についてそれぞれ適当な値³⁶⁾を入れるとだいたい 10^{-4} cm すなわち 1μ 程度のクラックが鉄の中に先在しなければならないことに

なる。このようなクラックは実際観察されないし、これに相当した非金属介在物を考えねばならないが、介在物がなくても低温で脆性になりうる。また注意すべきことは Cottrell³¹⁾も指摘しているように軟性から脆性への遷移が僅か数度の温度がちがうことによりおこるが、Griffith の式にこんな温度依存性の高い項が入っていないことである。そこでこの理論は金属の場合にそのまま適用出来ない。前にも述べたように脆性破壊においても塑性変形が必ず先行している。そこで破壊の理論を考える際に転位論的取り扱いがなされる。ここで転位が辺り線を走り障害物にて阻止されたところに集積して、これが応力集中によってクラックをつくるという考え方が多くの人々⁵²⁾⁵³⁾⁵⁴⁾⁵⁵⁾により唱えられた。

特に stroh⁵³⁾はバーガースペクトル b をもつ転位 η が結晶粒界に集積すると剪断応力がある値になるとクラックが出来るとした。

$$\sigma_0 = \sigma_1 + (k\gamma/nb) \quad (4)$$

σ_1 : 辺り面における摩擦力 stroh⁵³⁾はクラックが大きくなってしまっても η が一定であれば辺り帶の尖端でクラックが発生するに必要な引張応力はクラックが伝播するに十分なよりもより大きいことを示した。これには Cottrell³¹⁾その他⁵⁶⁾の異論がある。ここで問題になるのは粒界に集積した転位によって隣の結晶粒中の Frank-Read 源を動かして新たな辺りがおこるときは結晶の塑性変形が進行してゆくことになり、クラックは発生しない。この点を stroh⁵³⁾は C とか N₂ とかの溶質原子の存在のために転位が Cottrell の固着作用をうけその結果粒界近傍の転位源は容易に動けず塑性変形もしない。そしてこの Cottrell の固着作用は温度依存性が高いから低温になるとこの作用が強くクラック発生がし易いという。そして温度 T のとき集積転位の先端部での転位源が働くか否かを与える基準式として

$$P = \exp[-\nu t \exp\{-U(\sigma)/kT\}] \quad (5)$$

を得た。ここに P は転位を動かさない確率、 ν は原子の振動数、 t は考えている Frank-Read 源に作用する σ が最大値に近い状態になっている時間、 $U(\sigma)$ は固着されている転位が自由になるための活性化エネルギー、これから遷移温度 T_c として

$$T_c = U(\sigma)/k \log \nu t \quad (6)$$

更に歪速度によって t が変ることから、 T_c と $\dot{\varepsilon}$ の関係として

$$1/T_c = -(K/U) \log \dot{\varepsilon} + C \quad (7)$$

また結晶粒の大きさ d との関係式は

$$1/T_c = -\frac{7}{2}(K/U) \log d + C' \quad (8)$$

を得た。(8)式は実験から得られた傾向³⁰⁾³¹⁾とよくあらが、問題はマイクロクラックが発生するに必要な転位の

数が大きすぎること、剪断応力のみによってマイクロクラックが決定されること、あるいはマイクロクラックの発生のための応力は、それを伝播さす応力よりも常に大である（マイクロクラックが出来るとすぐ破壊することになる）ことなどの点⁵⁶⁾で、これに対して Peierls 力の温度依存性をもとにした Petch⁵⁷⁾の理論があるが、そうだとすると純度をどんなに高くしても脆性破壊が生ずることになる。

これらに対して横堀⁵⁸⁾は破壊以前に結晶粒程度のマイクロクラックが生じていること、応力をましてやるとこれらのマイクロクラックは隣の結晶粒にクラックを生じながら粒を横切ってゆき、これが多くの一定限界になると急速に破壊するという点に立ち、一つの理論を展開した。

また Cottrell⁵⁹⁾は脆性破壊の条件については第1に転位を動かす降伏応力、第2にマイクロクラックを発生させる発生応力、第三にマイクロクラックから本当の破壊になる成長応力に分けて考えねばならないとした。Cottrell は図17に示されるようにマイクロクラックは二つの交差する面に (101) と (101̄) の交叉点に出来る。

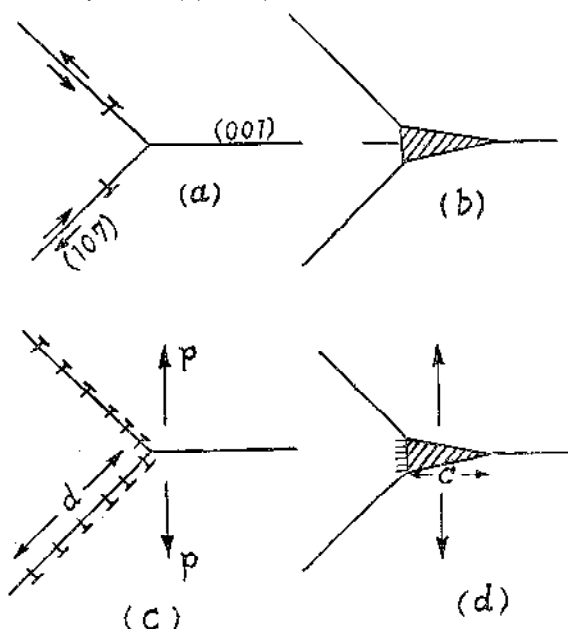


図17 Cottrell のモデル

した。すなわちこれらの辺り向上的転位が交線で交わったとすると合体によって新しい転位が出来、転位の弾性エネルギーは減少し、従ってこの新しい転位は安定であろう。そしてこの転位のバーガースペクトルは大でここに極めて小さいクラックが出来ると考える。このあとは転位がこれに流れ込んで大きくなる。このクラックの成長の条件はクラックの全エネルギー W の評価によるがこれを次式で与えた

$$W = \frac{\mu n^2 a^2}{4\pi(1-\nu)} lu \left(\frac{4R}{C} \right) + 2\gamma C$$

$$= \frac{\pi(1-\nu)b^2 c^2}{8\mu} - \frac{pnac}{2} \quad (9)$$

第1項は転位の応力場のエネルギー、 R はこの領域の有効半径、第2項はクラック面の表面エネルギー、第3項は作用応力場でのクラックの弾性エネルギー、第4項はクラックが開くと容積変化があるがこれによりなされる仕事、ここで C はクラックの長さ、この平衡条件からクラックが無限に拡がる応力条件として

$$pnac = 2\gamma \quad (10)$$

更に Cottrell はいくつかの仮定をおいて処理して(10)式から

$$\left. \begin{aligned} (\sigma_1 d^{\frac{1}{2}} + k_y) R_y &= \beta \mu \gamma \\ \sigma_y k_y d^{\frac{1}{2}} &= \beta \mu \gamma \end{aligned} \right\} \quad (11)$$

を得た。 $\sigma_y = \sigma_t + K_y d^{-\frac{1}{2}}$ から $\sigma_t = 0$ のとき(11)式は

$$p \cong 2 \left(\frac{\beta \mu \gamma}{d} \right)^{\frac{1}{2}} \quad (12)$$

とかける。これは本質的には d の Griffith クラックの成長の条件である。(12)式は大きいクラックの生ずる限界条件を決めるもので左辺が右辺よりも小さいときはクラックが出来るがある長さに成長出来ない。左辺が右辺よりも大になると降伏応力はクラックが完全破壊に成長するに十分なよりもっと大きいことになる。それでこの式は遷移温度を規定するものということが出来る。この式からみると K_y 、 σ_t 、 σ_y 、 d が大になると脆性えの傾向が大で、遷移温度に対する合金元素の影響とか熱処理についての影響もこの値を吟味することにより評価できる。すなわち Si の少量添加は結晶粒を細かくするから脆性を減少さす。Mn は d と K_y を減少さすから有効な元素である⁶⁰⁾。前述の Mn/C の値の大きな鋼は遷移温度は低いが、このような成分の鋼は同時に d も一般に小さいことが知られている⁶¹⁾。Si の添加は σ_t を上げ、粗い結晶粒をつくり易くするから悪影響が出る。また Ni-Cr の添加は熱処理により微細組織にし、更に加工硬化や中性子の照射硬化もまた σ_t を上げ鋼材の遷移温度を上げる。また右辺の γ が大きい方が脆性になり難い。 W や M はかなり高い遷移温度をもつことは γ が小さいためと考えられる。Petch⁶²⁾もまた遷移温度に影響する因子として上述と類似の諸項を挙げその他作用応力のかかり方の項も入ると述べている。しかしまだ破壊の応力条件や、振りにおける破壊までの塑性歪の大である点その他の事実を説明するのに困難のようである。しかし現在この破壊現象が統一的に説明出来る理論の確立に近づきつつあると云えよう。

文 献

- 1) T. D. Lynch, N. L. Mochel and P. G. McVetty
; Proc. ASTM 25 (1925) Part II, 5
- 2) F. R. N. Nabarro, Report on Conference on

- strength of Solids, H. H. Wills Laboratory, Bristol p.38. Physical Soc. London (1948).
- 3) 芥川および小川；鉄と鋼, 42 (1956) 318.
- 4) J.P. Sheehan and H. Schwartzhart ; Proc. AS TM., 56 (1956) 483.
- 5) P. Payson ; Iron Age, (1951) Sept 168.
- 6) S. Castleman, B.L. Averbach and M. Cohen ; Trans. ASM, 44 (1952) 240.
- 7) L.J. Klingler, W.J. Barnstt, R.R. Frohmberg and A.R. Triano ; Traus. ASM, 46 (1954) 1557.
- 8) B.S. Lement, B.L. Averbach and M. Cohen ; Traus. ASM, 46 (1954) 851.
- 9) R.H. Greeves and Jones ; JISI, 111 (1925) 231.
- 10) 長沢；鉄と鋼, 19 (1943) 174.
- 11) H. Jolvet and G. Vidal ; Rev. Mét., 41 (1949) 387 ; 403.
- 12) A.E. Powers ; Trans. ASM, 48 (1956) 149.
- 13) R. Hult, Gren and J. Chuan chang ; Traus. AS M, 46 (1954) 1298.
- 14) W. Steven and K. Balajiva ; JISI, 193(1959) 141.
- 15) J. L. Robbins, O. Cufler Shepard and O. D. Sherby ; JISI, (1961) oct 175.
- 16) E.R. Parker ; Brittle Behavior of Engineering Structures (1957).
- 17) H.C. Doepken ; J. Metals, 4 (1952) 166.
- 18) D. McLean ; J. Inst. Metals, 81 (1952) 121.
- 19) L.M.T. Hopkin ; ibid 84 (1956) 102.
- 20) A.S. Eldin and S.C. Collins ; J. Appl. phys., 22 (1951) 1296.
- 21) G.T. Hahn, W.S. Owen, B.L. Averbach and M. Cohen ; Weld. J., 51 (1959) 367.
- 22) G.T. Hahn, B.L. Averbach, W.S. Owen and M. Cohen ; Fracture Editors B. L. Averbach et al 1959 p.68.
- 23) 長谷川；鉄と鋼, 41 (1955) 451.
- 24) 横堀；日本機械学会誌, 64 (1961) 1017.
- 25) 美馬および堀；金属学会講演会昭36年10月（秋田）。
- 26) T. Yokobori, H. Hamamoto and A. Otsuka ; Nature, 181 (1958) 1719.
- 27) 美馬および堀；材料試験投稿中。
- 28) M. J. Manjoine ; J. Appl. Mech., 66 (1944) A 211.
- 29) F. Wittman and W. Stepanov ; J. Tech. Phys USSR, 9 (1939) 2070.
- 30) D.J. MacGregor and N. Grossman ; Weld. J., 31 (1952) 20.
- 31) F. S. Deronja and M. Gensamer ; Traus. ASM, 51 (1959) 666.
- 32) N.J. Petch JISI, 174 (1953) 25.
- 33) J.R. Low Jr ; IUTAM Deformation and Flaw of Solids (1956) p. 60 (Springer-Verlag)
- 34) W. Sylwestrowicz and E. O. Hall ; Proc. Phys. Soc. London, B64 (1951) 495.
- 35) J. R. Low, Jr ; Relation of Properties to Microstructures (1954) p. 163 (ASM).
- 36) N. J. Petch ; Progress in Metal physics 5 (1954) 1.
- 37) A. Crancknell and N. J. Petch ; Acta Met., 3 (1955) 186.
- 38) J.H. Hollomon, L.D. Jaffe, D.E. McCarthy and M.R. Norton ; Traus. ASM, 38 (1947) 807.
- 39) J.R. Low Jr ; Fracture Editors B.L. Averbach et al 1959 p.68.
- 40) R.L. Smith and J.L. Rutherford ; J. Metals, 9 (1957) 857.
- 41) Z.S. Basinski and A. Slewyk Acta Met., 5 (1957) 176.
- 42) J.A. Rinebolt and W.J. Harris Jr ; Trans. ASM, 43 (1951) 1175.
- 43) W. Barr and A.J. Honeyman ; JISI, 157 (1947) 239.
- 44) D. Rosenthal and W.D. Mitchell ; Weld. J., 29 (1950) 409.
- 44) 立花および幸田；日本金属学会誌, 21 (1957) 475.
- 46) J.R. Low Jr ; Acta Met., 1 (1953) 185.
- 47) D. Hull ; ibid 8 (1960) 11, 9 (1961) 191.
- 48) 木多 ；金材技研報告, 4 (1961) No 4 280.
- 49) A.W. Sleeswyk ; Acta Met., 9 (1961) 32.
- 50) C.F. Tipper ; Admiralty Ship Welding Committee Rept., NoR3 (1948).
- 51) A.H. Cottrell ; Trans. AIMH., 212 (1958) 192.
- 52) N.F. Mott ; JISI, 183 (1956) 233.
- 53) A.N. Stroh ; Proc. Roy. Soc., 223 A (1954) 404, 232A (1955) 548.
- 54) A.N. Stroh ; Phil. Mag., 46 (1955) 968.
- 55) A.N. Stroh ; Advance in Physico, 6 (1957) 418.
- 56) 横堀；金属材料の強度および疲労シンポ（第3回）予稿, 金属学会, 昭33年3月。
- 57) N.J. Petch ; Phil. Mag., 3 (1958) 1089.
- 58) 横堀；機械学会誌, 64 (1961) 1013.
- 59) J. Gorrisen ; J.I.S.I., 162 (1949) No.2, 16.
- 60) J. Heslop and N.J. Petch ; Phil. Mag., 2 (1957) 649.
- 61) N.J. Petch ; Fracture Editors B.L. Averbach et al 1959, p.54.